

YANAL SÜREKSİZLİKLERİN DOĞAL GERİLİM AÇMA ÖLÇÜMLERİ İLE SAPTANMASI

Determination of Lateral Discontinuities Using Self Potential Sounding Measurements

Ibrahim ONUR*

ÖZET

Zonguldak ili Kırımsa - Ayıçi (Kilimli) yöresindeki süreklişıklıkların yüzey izine dik olarak alınan Kuzeybatı - Güneydoğu doğrultusu boyunca doğal gerilim açma ölçümleri yapılmıştır. Bu ölçümlerden, 20 metre örnekleme aralığı ile çeşitli gerilim kol boyaları için görünür türev değerleri hesaplanmıştır. Ölçü doğrultusundaki yatay görünür türev eğrileri ile görünür türev kesiti çizilmiştir. Sonuçta, görünür özdirenç kesitinde işaretli yanal süreklişıklıkların doğal gerilim açma ölçümleri ile de belirlenebileceği gösterilmiştir.

ABSTRACT

Self Potential sounding measurements have been carried out along the NW-SE measuring profile perpendicular to the surface trace of Zonguldak province. From these measurements, the apparent gradient of the potential values have been calculated for various dipole lengths using a sampling interval of 20 m. The curves representing the apparent gradient of the self potential and the apparent gradient section of the measurement line have been drawn. As a result, it has been demonstrated that the lateral discontinuities shown on the apparent resistivity geoelectric section can be determined also with self potential sounding measurements.

GİRİŞ

Zonguldak ili Kırımsa-Ayıçi (Kilimli) yöresi Maden Tetkik ve Arama Enstitüsü (MTA) ve Türkiye Kömür İşletmeleri Kurumu (TKİ) jeolojik haritalarında (Ergüder ve dig. 1990) görülen süreklişıklıkların yüzey izine dik olacak şekilde alınan Kuzeybatı-Güneydoğu (KB-GD) doğrultusu boyunca Türkiye Taşkömürü Kurumu (TTK) tarafından görünür özdirenç kaydırma ölçümleri yapılmıştır. Schlumberger diziliminde yarı açılım boyu $r = 180, 340$ ve 500 m seçilerek bu derinliklere atanan görünür özdirenç değerlerinin eşdeğer olanlarının birleştirilmesiyle görünür özdirenç kesiti oluşturulmuştur (Şekil 1). Bu kesitin değerlendirilmesi sonucu bulunan yanal süreklişıklıkların yerleri ve eğimleri hem kesit üzerine işaretlenmiş hem de Şekil 2'de MTA ve TKİ jeolojik haritalarından alınan süreklişıklıklarla birlikte gösterilmiştir (Ergüder ve dig. 1990). 51 nolu ölçü noktası altında saptanın süreklişıklık gömülü (G) bir süreklişıklık olarak yorumlanmıştır. Bu süreklişıklık yukarıda dephinilen jeolojik haritalarda görülmemektedir.

Çalışmada, özdirenç kaydırma ölçümleri ile bulunan gömülü süreklişıklığın ve diğer süreklişıklıkların varlığını araştırmak

ve özdirenç yöntemine destek olması amacıyla aynı KB-GD doğrultusu üzerinde doğal gerilim açma ölçümleri de yapılmıştır. Ölçü doğrultusu Apsiyen kireçtaş formasyonu ve İncivez serisi (marın+kumtaş) üzerindedir. Altta ise sırasıyla Barremiyen kireçtaş ve Karbonifer formasyonları bulunmaktadır (Kaynar ve dig. 1978).

KB-GD DOĞRULTUSUNDA YATAY GÖRÜNÜR TUREV EĞRİLERİ VE KESİTİ

1000 m uzunluklu KB-GD ölçü doğrultusu boyunca, örnekleme aralığı $l = 20$ m alınarak, doğal gerilim açma ölçümleri yapılmıştır. Her beş ölçüde bir, iki fincan arasındaki gerilim ayarlığı belirlenip ölçü noktalarına doğrusal dağıtılmış (çözelti yoğunluğu gerilim düzeltmesi) ve düzeltilmiş değerler seçilen başlangıç noktasına yığılmıştır. Böylece, başlangıç noktasına göre doğal gerilimin değişimini gösteren yığınsal gerilim (açma) değerleri elde edilmiştir.

Yatay görünür türev değerlerini elde etmek için, ölçü doğrultusu boyunca $l = 20$ m örnekleme aralığına göre, önce

* H.Ü. Zonguldak Mühendislik Fakültesi, Maden Mühendisliği Bölümü – ZONGULDAK

gerilim kol boyu $L = 20$ m alınarak ($n = L/l = 1$) iki ayrı yükselsal gerilim değeri arasındaki ayrılık

$$dG_i = G_{i+1} - G_i \quad (1)$$

eşitliği (Ercan 1982a) ile hesaplanmıştır. Burada i gerilim farkı örnekleme sayacıdır. Sonra, görünür türev (T , mV/m) değerlerinin hesabı için

$$T_j(L) = (-\text{Elektrik alan}) = \delta G / \delta X = \sum_{i=j}^{j+n-1} dG_i / L \quad (2)$$

eşitliğinden (Ercan 1982a) yararlanılmıştır. Burada, L gerilim kolunun boyu (m), j seçilen gerilim kol boyunun ortasına atacak türev değerlerinin sayacıdır ve $n = L/l$ oranı tam bölünebilir seçilmiştir.

Çalışmada; T değerleri hesaplanırken, seçilen gerilim kol boyu tüm açılım uzunluğuna (1000 m) göre küçük ise ölçülen değer doğrudan gerilimin uzaklığna göre birinci türevi ($\delta G / \delta X$) olduğundan eşitlik (2) de verilen dG_i ardışık toplamı, L değerine bölünmemiştir. Bu şekilde elde edilen türev değerleri seçilen gerilim kol boyunun ($L = 20$ m) ortasına atanarak $n = 1$ için yatay görünür T (mV/m) eğrisi çizilmiştir. (Şekil 3, $n = 1$). Aynı işlem bu kez $L = 40$ m ($n = 2$), $L = 60$ m ($n = 3$), $L = 80$ m ($n = 4$) ve $L = 100$ m ($n = 5$) gerilim kol boyaları için yinelenecek Şekil 3'de görülen diğer yatay görünür türev eğrileri elde edilmiştir. Çalışmada, gerilim farkı değerlerinin türev değeri sayılabilmesi için, ölçü doğrultusu uzunluğunun onda biri ($1/10$), alınabilecek en uzun gerilim kol boyu olarak kabul edilmiştir.

Gerilim kol boyunun kısa tutulması durumunda ($L = 20$ m, $n = 1$ durumu) çizilen görünür türev eğrisi Şekil 3'de görüldüğü gibi sıgınakların uculaşma özelliklerini yansitan yerel belirti görünümündedir. Eksili artlı yönlerde değişim gösteren türev eğrisinin yanal süreksızlıklar için değerlendirilmesi, Ercan (1982b) tarafından çeşitli α açısıyla uculaşmış ve uculaşma odak derinliği h olan bir küre modeli için verilen kuramsal türev eğrileri ile karşılaştırarak yapılmıştır. $n = 1$ durum için saptanan süreksızlıkların konumları Şekil 3'de gösterilmiştir. Jeolojik haritalardan aktarılan ve görünür özdirenç kaydırma ölçümü ile bulunan süreksızlıkların hepsi görünür türev eğrisinin yorumundan da saptanmıştır. Ayrıca, 75 - 76 ölçü noktası arasında $h = 16$ m ve $\alpha = 90^\circ$ olan bir süreksızlık daha bulunmuştur. Bu süreksızlık, TKI jeoloji haritasında gösterilen İncivez serisi - Alüvyon dokanağına denk gelmektedir. Görünür özdirenç kesitinde 51 nolu ölçü noktası civarında gömülü (G) olarak gösterilen süreksızlık, T ($n = 1$) eğrisi üzerinde uculaşma odak derinliği $h = 112$ m, uculaşma açısı $\alpha = 270^\circ$ (90°) - 315° (45°) olarak bulunan kuzeybatıya eğimli süreksızlıkla simgelenmektedir.

Gerilim kol boyu $L = 40$ m alındığında ($n = 2$ durumu), sağdaki ulaşabilir yapıların etkileri görünür türev eğrisinde kısmen gözlemezbilmektedir (Şekil 3, $n = 2$). Gerilim kol boyu $L = 60$ m ($n = 3$) ve $L = 80$ m ($n = 4$) alındığında görünür türev eğrilerinin sağdaki ulaşabilir yapıların etkisinden gittikçe arındığı, $L = 100$ m ($n = 5$) durumunda ise derinlerin uculaşma özelliğini yansitan bölgesel belirti özelliği kazandığı görülmektedir. Bölgesel belirtinin değerlendirilmesi de Ercan (1982b) tarafından küre modeli için verilen kuramsal türev eğrileri ile karşılaştırarak yapılmış ve yanal süreksızlığın uculaşma odak derinliği yaklaşık $h = 300$ m, uculaşma açısı $\alpha = 270^\circ$ (90°) - 315° (45°) arasında (90° ye daha yakın) bulunumuştur. Bu süreksızlık, kuzeybatıya eğimli olup 51 nolu ölçü noktası civarının altındadır (Şekil 3). Görünür özdirenç yerelektrik kesitinde aynı ölçü noktası civarında gömülü (G) olarak gösterilen sü-

Onur

reksizlige denk gelmektedir. Kısa gerilim kolu ($L = 20$ m, $n = 1$) kullanıldığından da saptanan bu süreksızlığın uculaşma odak derinliğinin bölgesel belirtinin yorumuna göre $h = 300$ m olduğu dikkate alındığında süreksızlığın çok daha derinle uzanması olasıdır. Jeolojik haritalarda görülmeyen gömülü süreksızlığın varlığı görünür türev eğrilerinin yorumuya doğrulanmıştır. Bununla beraber, kesin sonuç ancak yapılacak bir sondajla ortaya çıkacaktır.

Çalışmada, ayrıca, KB - GD doğrultusu boyunca görünür türev değerlerinin düşey düzlemede dağılımını yansitan, doğal gerilim görünür türev kesiti çizilmiştir (Şekil 4). Bu amaçla, hesaplanan türev değerleri gözönüne alınan herbir gerilim kolunun ($L = 20, 40, 60, 80$ ve 100 m) orta noktasından $L/2$ derinliğe atanmış ($n = 1, 2, 3, 4$ ve 5) ve eş türev değerlerinden eksiz işaretli olanları kesikli çizgi ile artı işaretli olanları sürekli çizgi ile birleştirilmiştir. Doğal gerilim yönteminde seçilen gerilim kol boyuna göre hangi derinlikte uculaşma özelliklerinin yansıtıldığı tam olarak bilinmediğinden, burada inilecek derinliğin gerilim kol boyunun yarısı olduğu kabul edilmiştir. Kısa gerilim kolu kullanıldığından sıgınaklarda uculaşma özelliklerinin, daha büyük gerilim kolu kullanıldığından göreceli olarak daha derinlerin uculaşma özelliklerinin yansıtıldığı çalışmada ortaya konmuştur.

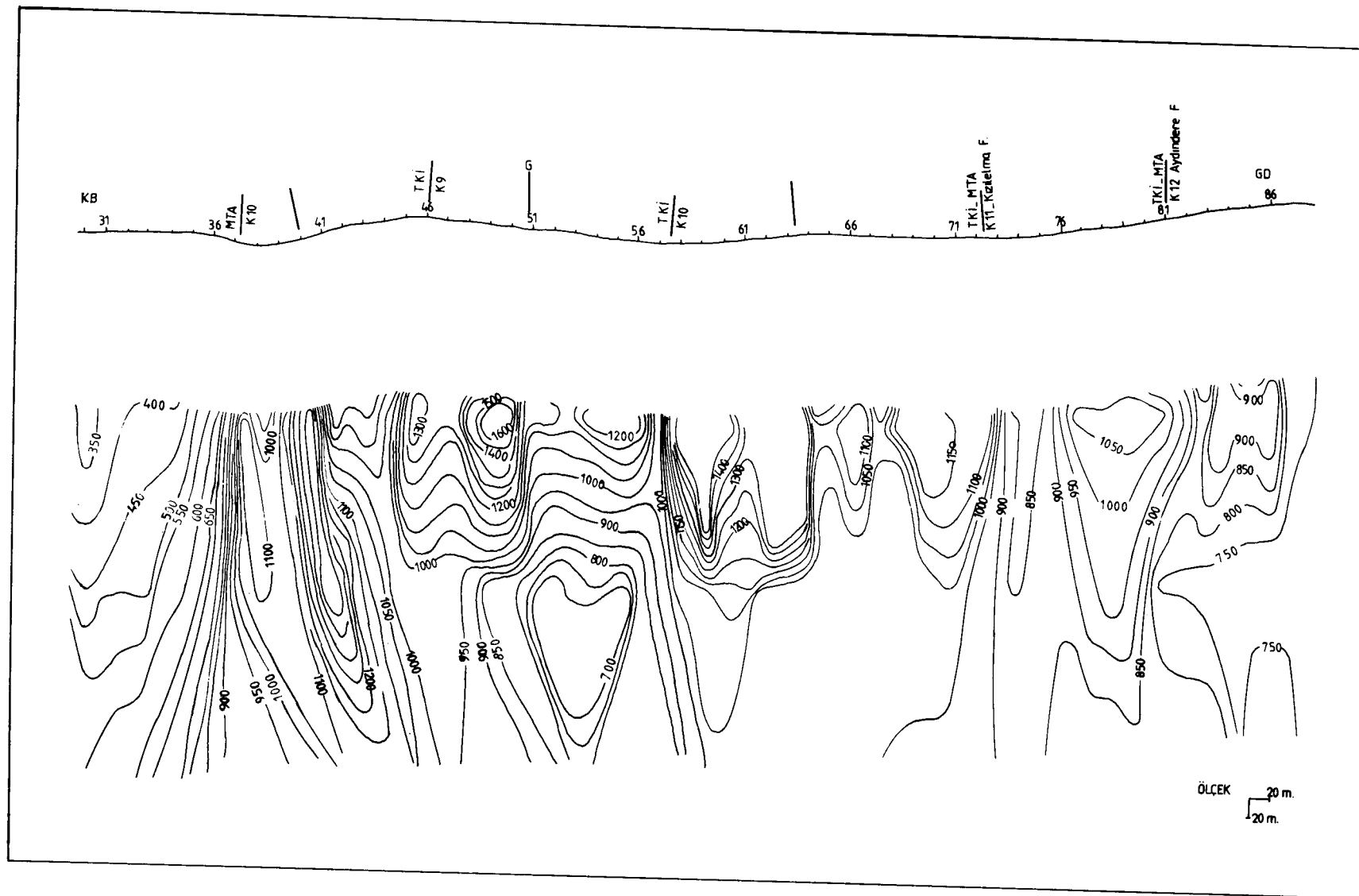
Görünür türev eğrilerinin yorumundan saptanan yanal süreksızlık, çizilen görünür türev kesiti üzerine aktarılmıştır (Şekil 4). Yanal süreksızlıkların, görünür türev eğrilerinin sıklaşarak fay düzlemi eğimine uygun biçimde sürekli gösterdiği yerlere, sıfır kapantisı üzerine ve iki sıfır eğrisinin arasına denk geldiği görülmektedir. Bu saptamalar, görünür türev kesitinden yanal süreksızlıkların sadece yerlerinin bulunmasına yol gösterecektir. Derinlik kontrolü olmadığı için, çizilen kesite dayanarak uculaşma odak derinliği kestirmi yapılamaz. Uculaşma parametrelerinin belirlenmesi çalışmada sunulduğu gibi çeşitli gerilim kol boyuna göre çizilen yatay görünür türev (-elektrik alan) eğrilerinin biçimlerine bakarak yapılmalıdır.

SONUÇLAR

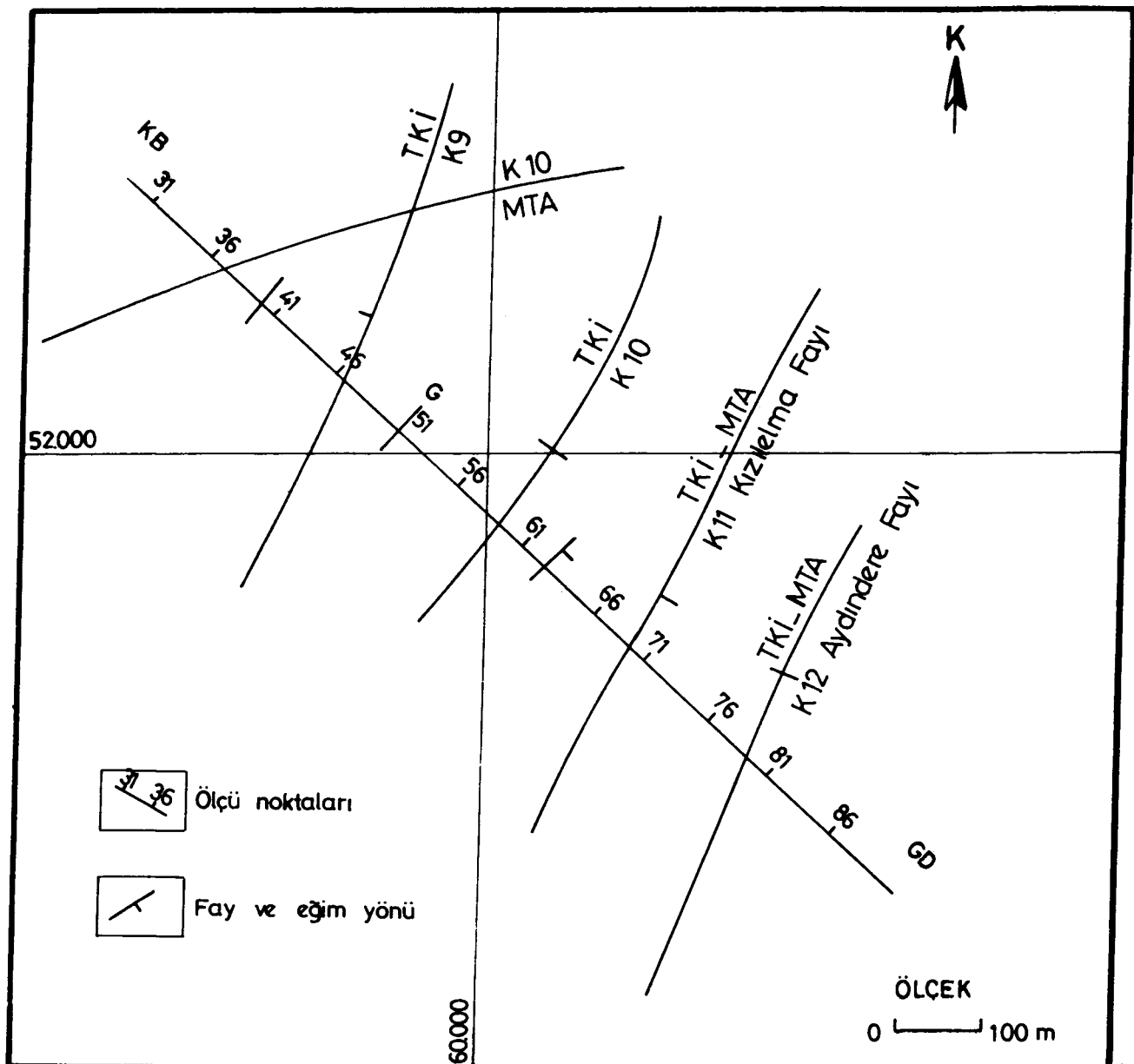
Kırımsa-Ayiçi (Kilimli) yöresinde alınan KB-GD özdirenç doğrultusu üzerinde ayrıca doğal gerilim açma ölçümü yapılarak çeşitli gerilim kol boyaları için yatay görünür türev eğrileri elde edilmiştir. Bunların değerlendirilmesinden, jeolojik haritalardan aktarılan ve özdirenç ölçümü degerlendirme haritasında gösterilen yanal süreksızlıkların hepsi doğrulanmıştır. Jeolojik haritalarda görülmeyen gömülü süreksızlığın varlığı ortaya çıkarılmıştır. Yöntemin yanal süreksızlık yerlerini bulma başarısı gözönüne alındığında, hem jeolojik haritaların ayrıntılandırılması katkı sağlayacağı, hem de özdirenç doğrultularının sayısını azaltacağından zaman ve mal yet aksından, ekonomi sağlayacağı açıktr.

1000 m lik ölçü doğrultusu boyuna göre kısa gerilim kolu $L = 20$ m alındığında, elde edilen görünür türev eğrisi yerel belirti özelliğini göstermiştir. Gerilim kol boyu $2L$ (40 m) alındığında yerel uculaşma etkileri kısmen gözlemezbilmiştir. $3L$ (60 m) ve $4L$ (80 m) durumunda yerel uculaşma etkileri gittikçe kaybolmuş ve $5L$ (100 m) drumunda görünür türev eğrisi bölgesel belirti özelliğini kazanmıştır. Buna göre, bölgesel uculaşma kaynağının belirlenebilmesi için seçilecek gerilim kol boyunun ölçü doğrultusu boyunun en az onda biri kadar alınması önerilebilir. Örnekleme aralığının (l) kısa gerilim kol boyuna (L) eşit alınması türev değerlerinin hesaplanması kolaylaştıracaktır.

Çalışmada, ayrıca, çizilecek görünür türev kesitinden yanal süreksızlıkların yerlerinin nasıl bulunabileceğine bir açıklık getirilmeye çalışılmıştır.

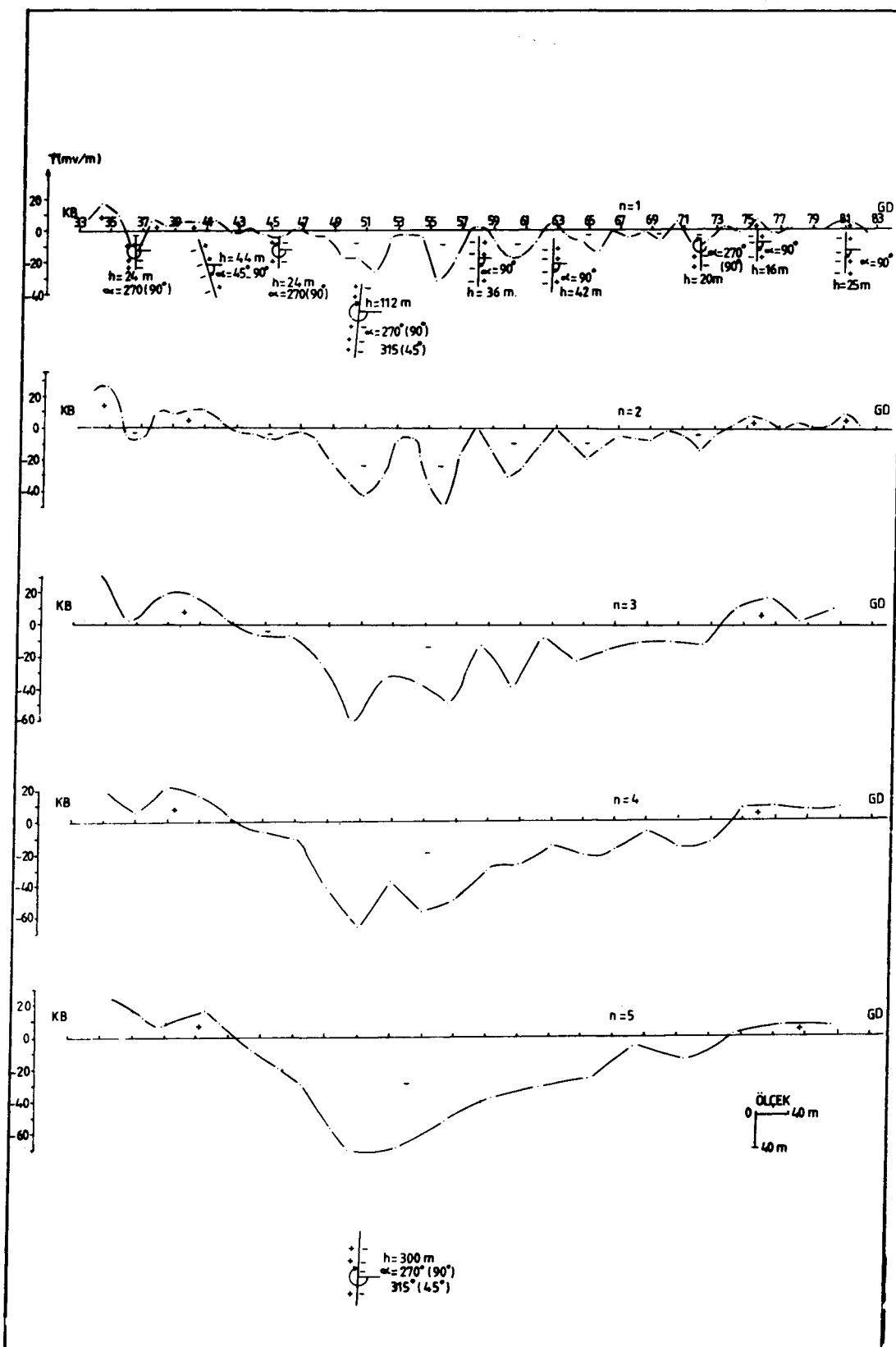


Şekil Fig. 1. Kilimli Yöresinin KB-GD doğrultusundaki görünür özdirenç kesiti (Ergüder ve diğ. 1990'dan).
1. Apparent resistivity pseudo-section of Kilimli District in NW-SE direction (after Ergüder et al. 1990).



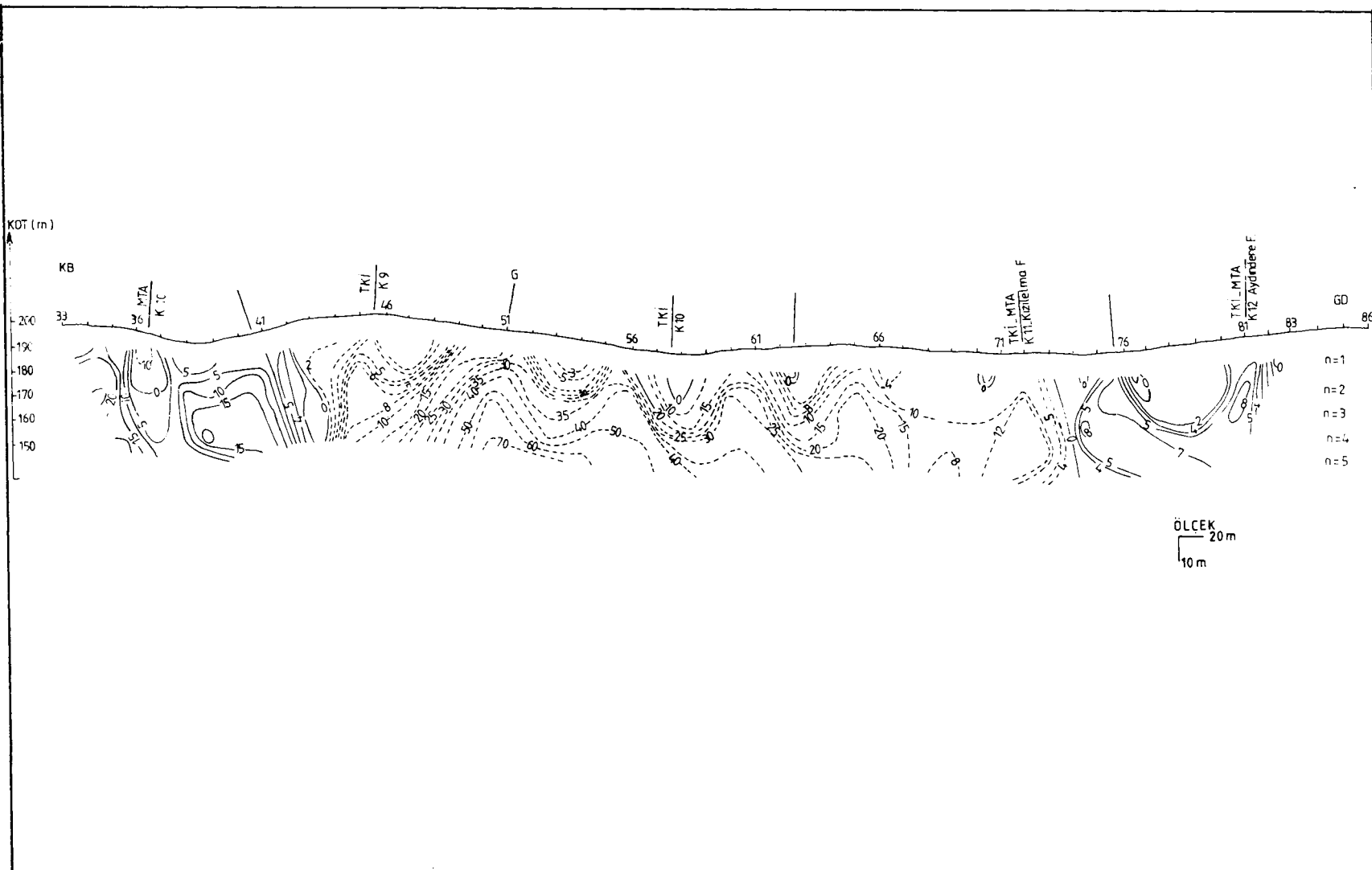
Şekil 2. Özdirenç incelemesi değerlendirme haritası. İsimlendirilen süreksızlıklar MTA ve TKİ jeolojik haritalarından aktarılmıştır (Ergüder ve diğ. 1990'dan).

Fig. 2. Resistivity evaluation map. The discontinuities identifications have been transferred from MTA and TKİ geological maps (after Ergüder et al. 1990).



Şekil 3. Yatay görünür türev (-elektrik alan) eğileri. Gözönüne alınan gerilim kol boyları sırasıyla $L = 20, 40, 60, 80$ ve 100 m, örnekleme aralığı $l = 20$ m dir.

Fig. 3. The curves of horizontal apparent gradient (-electrical field). The measuring dipole lengths are $L = 20, 40, 60, 80$ and 100 m, respectively. Sampling interval is $l = 20$ m.



Şekil 4. KB-GD doğrultusunun görünür türev kesiti ve yanal süreksizliklerin yerleri. Kesikli çizgiler eksi işaretli, sürekli çizgiler artı işaretli türev eğrilerini göstermektedir. İsimlendirilen süreksizlikler fay düzlemi yüzey izlerini, G gömülü süreksizliği göstermektedir.

Fig. 4. Apparent gradient section of the NW - SE profile and locations of the lateral discontinuities. The dashed and solid lines show the curves of apparent gradient which are marked negative and positive, respectively. The named discontinuities show the surface traces of the fault plane and G demonstrates the buried discontinuity.

KATKI BELİRTME

Çalışmaya veri sağlayan başta Fethi Ergüder ve Lütfi Karaoglu olmak üzere TTK Aramalar Dairesi Başkanlığı Jeofizik ekibine teşekkür ederim.

KAYNAKLAR

Ercan, A. 1982a, Kızıldere sıcak alanında doğal uçlaşma ölçümü, *Jeofizik* 9, 105 - 108.
Ercan, A. 1982b, *Doğal Uçlaşma Yöntemi*, Ders notu, İTÜ Maden Fakültesi, İstanbul.

Ergüder, F., Karaoglu, L. ve Çalışkan S. 1990, TTK Karadon Taşkömürü İşletme Müessesesi Kılımlı - Esenli Arası Sahanın Detaylandırma Jeofizik (özdirenç) Etüdü, TTK Aramalar Dairesi Başkanlığı, Rapor No. 62, Zonguldak.

Kaynar, A., Ergüder, F. ve Koçak, C. 1978, Zonguldak İli Kılımlı - Ayıcı - Kırmısa ve Deliklimeşe Tepesi Arası Alanın Jeolojik - Jeofizik (özdirenç) Etüdü, TTK Aramalar Dairesi Başkanlığı, Rapor No. 3, Zonguldak.